

Siehe ähnliche Dateien: <http://www.ps.bam.de/PG40/>
Technische Information: <http://www.ps.bam.de> Version 2.1, io=1, 1

v L O Y M C I www.ps.bam.de/PG40/10S/S40G00NP.PS./PDF; Start-Ausgabe
N: Keine Ausgabe-Linearisierung (OL) in Datei (F), Startup (S), Gerät (D)

Eingabe: Farbmétrisches Offset-Reflektiv-System ORS18

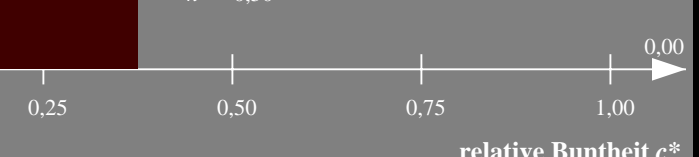
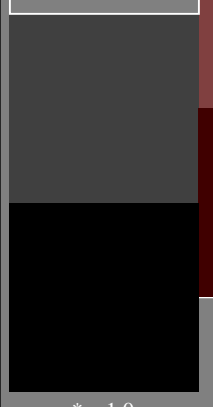
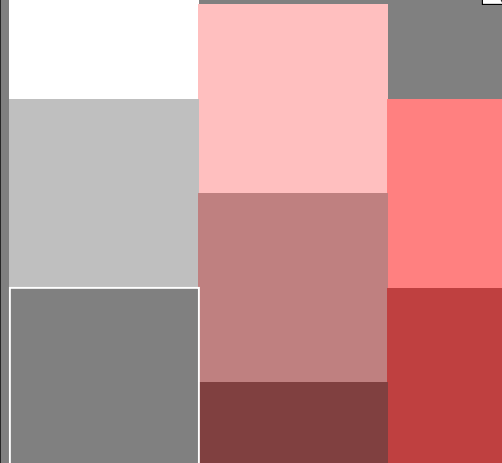
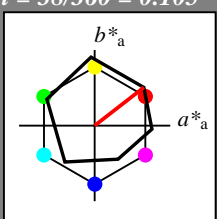
für Bunton $h^* = lab^*h = 38/360 = 0.105$
 lab^{*tch} und lab^{*nch}

D50: Bunton O

LCH*Ma: 48 82 38

olv*Ma: 1.0 0.0 0.0

Dreiecks-Helligkeit



n* = 0,00

n* = 0,25

n* = 0,50

n* = 0,75

n* = 1,00

n* = 1,00

relative Buntheit c^*

C M Y L M C I

PG400-7, 5stufige Reihen für konstanten CIELAB Bunnton 38/360 = 0.105 (links)

BAM-Prüfvorlage PG40; Farbmétrik-Systeme ORS18 & TLS00 input: olv* setrgbcolor

D50: 5stufige Farbreihen und Koordinatendaten für 10 Bunntöne output: no change compared to input

Ausgabe: Farbmétrisches Fernseh-Licht-System TLS00

für Bunton $h^* = lab^*h = 38/360 = 0.107$

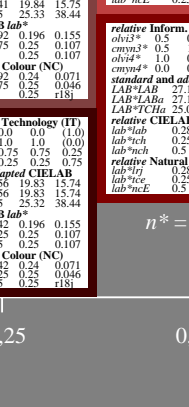
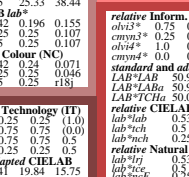
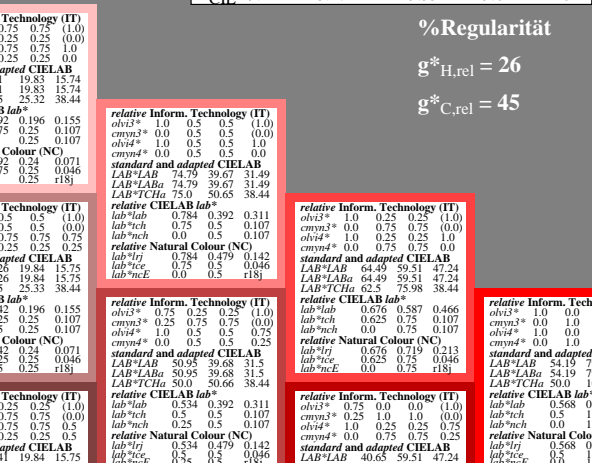
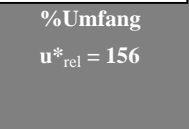
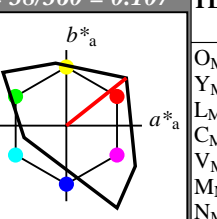
lab^{*tch} und lab^{*nch}

D50: Bunton O

LCH*Ma: 54 101 38

olv*Ma: 1.0 0.0 0.0

Dreiecks-Helligkeit



$L^* = L^*_a$	$a^* a$	$b^* a$	$C^*_{ab,a}$	$h^*_{ab,a}$
O _{Ma} 54.19	79.36	63.0	101.33	38
Y _{Ma} 93.44	-14.18	82.59	83.8	100
L _{Ma} 82.82	-83.73	70.41	109.41	140
C _{Ma} 85.22	-55.9	-15.78	58.1	196
V _{Ma} 25.61	67.05	-108.87	127.87	302
M _{Ma} 58.76	91.18	-53.69	105.82	330
N _{Ma} 0.01	0.0	0.0	0.0	0
W _{Ma} 95.41	0.0	0.0	0.0	0
R _{CIE} 41.88	61.66	30.69	68.88	26
J _{CIE} 81.97	2.02	67.79	67.82	88
G _{CIE} 51.62	-41.32	9.74	42.46	167
B _{CIE} 29.2	-5.79	-49.61	49.96	263

%Regularität

$g^*_{H,rel} = 26$

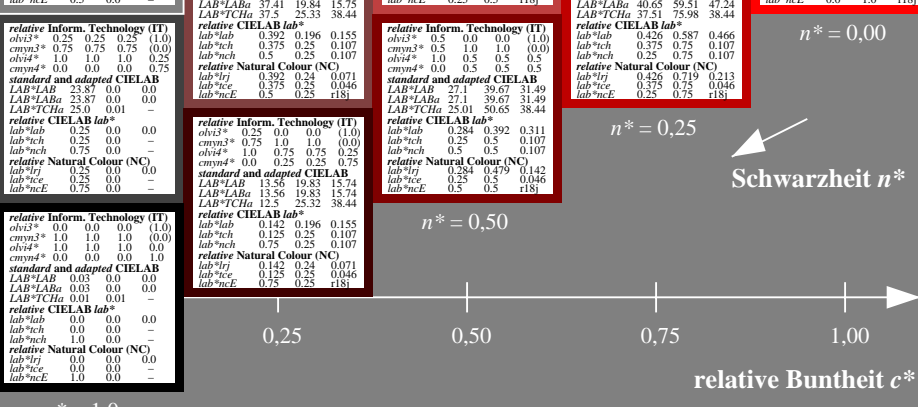
$g^*_{C,rel} = 45$

n* = 0,00

Schwarzheit n*

relative Buntheit c^*

C M Y L M C I

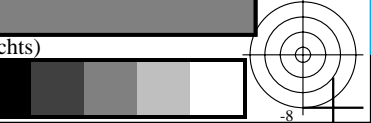


5 stufige Reihen für konstanten CIELAB Bunnton 38/360 = 0.107 (rechts)

BAM-Prüfvorlage PG40; Farbmétrik-Systeme ORS18 & TLS00 input: olv* setrgbcolor

D50: 5stufige Farbreihen und Koordinatendaten für 10 Bunntöne output: no change compared to input

Siehe ähnliche Dateien: <http://www.ps.bam.de/PG40/>
Technische Information: <http://www.ps.bam.de> Version 2.1, io=1, 1



Eingabe: Farbmétrisches Offset-Reflektiv-System ORS18

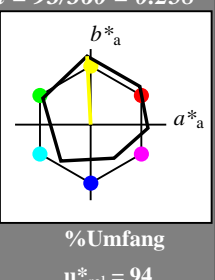
für Bunton $h^* = lab^*h = 93/360 = 0.258$
 lab^*tch und lab^*nch

D50: Bunton Y

LCH*Ma: 91 91 93

olv*Ma: 1.0 1.0 0.0

Dreiecks-Helligkeit

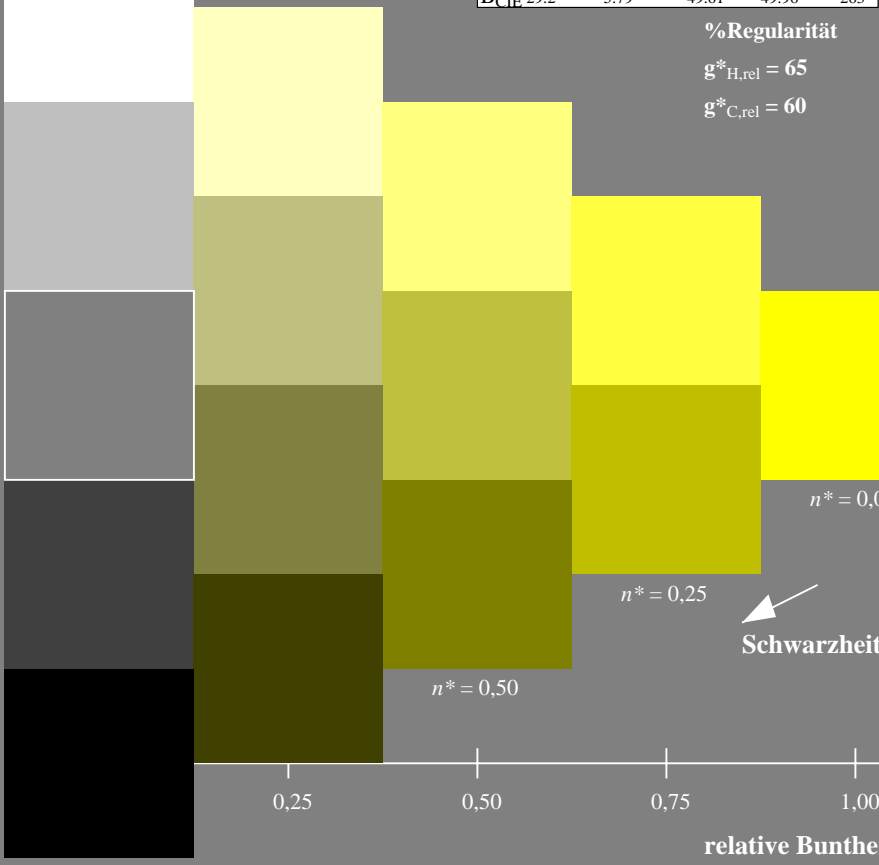


%Umfang

$u^*_{rel} = 94$

ORS18; adaptierte CIELAB-Daten

	$L^*=L^*_a$	a^*_a	b^*_a	$C^*_{ab,a}$	$h^*_{ab,a}$
O _{Ma}	47.94	65.05	50.54	82.38	38
Y _{Ma}	91.0	-4.72	90.58	90.7	93
L _{Ma}	50.9	-63.18	34.98	72.22	151
C _{Ma}	56.99	-39.34	-48.1	62.16	231
V _{Ma}	25.72	30.89	-44.4	54.09	305
M _{Ma}	49.99	75.76	-4.64	75.9	356
N _{Ma}	18.09	0.0	0.0	0.0	0
W _{Ma}	95.46	0.0	0.0	0.0	0
R _{CIE}	41.88	61.66	30.69	68.88	26
J _{CIE}	81.97	2.02	67.79	67.82	88
G _{CIE}	51.62	-41.32	9.74	42.46	167
B _{CIE}	29.2	-5.79	-49.61	49.96	263



$n^* = 0,00$

$n^* = 0,25$

$n^* = 0,50$

$n^* = 0,75$

$n^* = 1,00$

relative Buntheit c^*

$n^* = 1,0$

Ausgabe: Farbmétrisches Fernseh-Licht-System TLS00

für Bunton $h^* = lab^*h = 100/360 = 0.277$

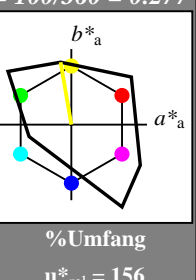
lab^*tch und lab^*nch

D50: Bunton Y

LCH*Ma: 93 84 100

olv*Ma: 1.0 1.0 0.0

Dreiecks-Helligkeit



%Umfang

$u^*_{rel} = 156$

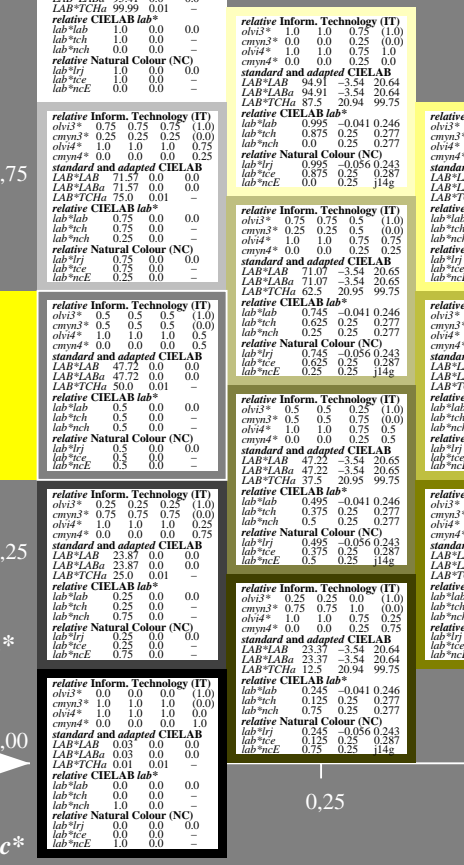
TLS00; adaptierte CIELAB-Daten

	$L^*=L^*_a$	a^*_a	b^*_a	$C^*_{ab,a}$	$h^*_{ab,a}$
O _{Ma}	54.19	79.36	63.0	101.33	38
Y _{Ma}	93.44	-14.18	82.59	83.8	100
L _{Ma}	82.82	-83.73	70.41	109.41	140
C _{Ma}	85.22	-55.9	-15.78	58.1	196
V _{Ma}	25.61	67.05	-108.87	127.87	302
M _{Ma}	58.76	91.18	-53.69	105.82	330
N _{Ma}	0.01	0.0	0.0	0.0	0
W _{Ma}	95.41	0.0	0.0	0.0	0
R _{CIE}	41.88	62.0	31.82	69.69	27
J _{CIE}	81.97	1.81	71.59	71.61	89
G _{CIE}	51.62	-41.11	11.52	42.7	164
B _{CIE}	29.2	-5.27	-49.33	49.62	264

%Regularität

$g^*_{H,rel} = 26$

$g^*_{C,rel} = 45$



$n^* = 0,00$

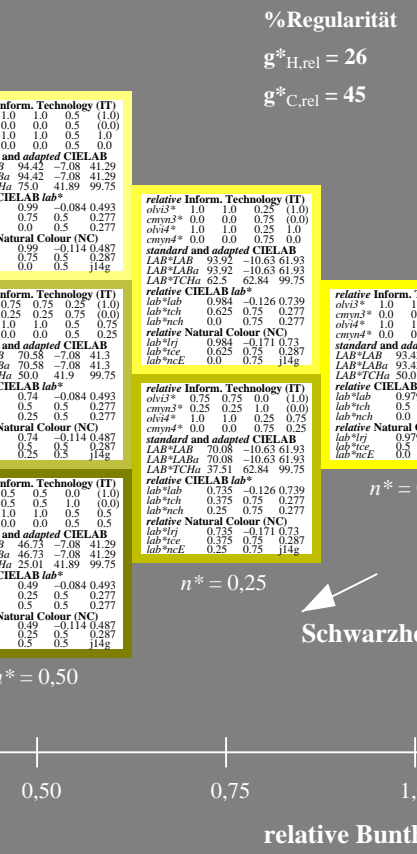
$n^* = 0,25$

$n^* = 0,50$

$n^* = 0,75$

$n^* = 1,00$

relative Buntheit c^*



$n^* = 0,00$

$n^* = 0,25$

$n^* = 0,50$

$n^* = 0,75$

$n^* = 1,00$



$n^* = 0,00$

PG400-7, 5stufige Reihen für konstanten CIELAB Bunton 93/360 = 0.258 (links)

5 stufige Reihen für konstanten CIELAB Bunton 100/360 = 0.277 (rechts)

BAM-Prüfvorlage PG40; Farbmétrik-Systeme ORS18 & TLS00 input: olv* setrgbcolor

D50: 5stufige Farbreihen und Koordinatendaten für 10 Bunntöne output: no change compared to input



Siehe ähnliche Dateien: <http://www.ps.bam.de/PG40/>
Technische Information: <http://www.ps.bam.de> Version 2.1, io=1, 1

Eingabe: Farbmétrisches Offset-Reflektiv-System ORS18

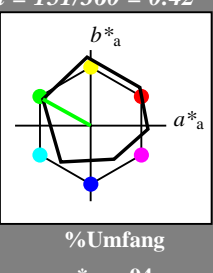
für Bunton $h^* = lab^*h = 151/360 = 0.42$
 lab^*tch und lab^*nch

D50: Bunton L

LCH*Ma: 51 72 151

olv*Ma: 0.0 1.0 0.0

Dreiecks-Helligkeit



ORS18; adaptierte CIELAB-Daten

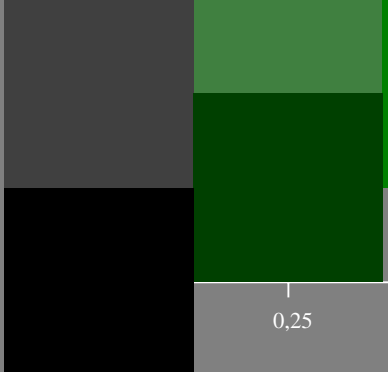
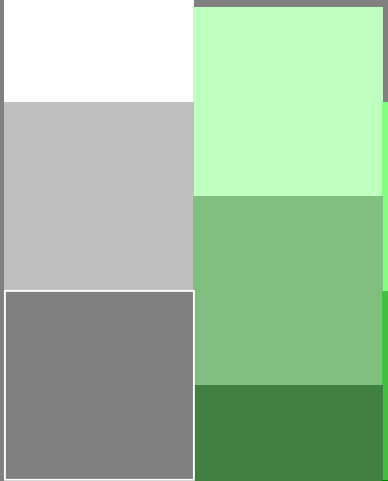
	$L^*=L^*_a$	a^*_a	b^*_a	$C^*_{ab,a}$	$h^*_{ab,a}$
O _{Ma}	47.94	65.05	50.54	82.38	38
Y _{Ma}	91.0	-4.72	90.58	90.7	93
L _{Ma}	50.9	-63.18	34.98	72.22	151
C _{Ma}	56.99	-39.34	-48.1	62.16	231
V _{Ma}	25.72	30.89	-44.4	54.09	305
M _{Ma}	49.99	75.76	-4.64	75.9	356
N _{Ma}	18.09	0.0	0.0	0.0	0
W _{Ma}	95.46	0.0	0.0	0.0	0
R _{CIE}	41.88	61.66	30.69	68.88	26
J _{CIE}	81.97	2.02	67.79	67.82	88
G _{CIE}	51.62	-41.32	9.74	42.46	167
B _{CIE}	29.2	-5.79	-49.61	49.96	263

1,00



%Umfang

$u^*_{rel} = 94$



$n^* = 0,50$

$n^* = 0,25$

$n^* = 0,00$

relative Buntheit c^*

$n^* = 1,0$

$n^* = 0,00$

$n^* = 0,25$

$n^* = 0,50$

$n^* = 0,75$

$n^* = 1,00$

$n^* = 0,75$

$n^* = 0,50$

$n^* = 0,25$

$n^* = 0,00$

Ausgabe: Farbmétrisches Fernseh-Licht-System TLS00

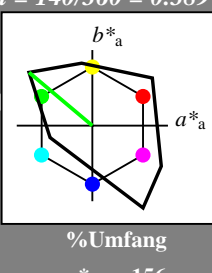
für Bunton $h^* = lab^*h = 140/360 = 0.389$
 lab^*tch und lab^*nch

D50: Bunton L

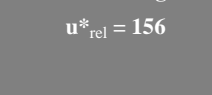
LCH*Ma: 83 109 140

olv*Ma: 0.0 1.0 0.0

Dreiecks-Helligkeit

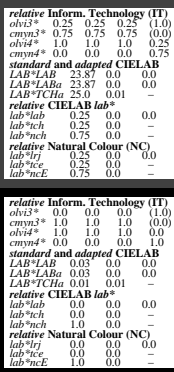
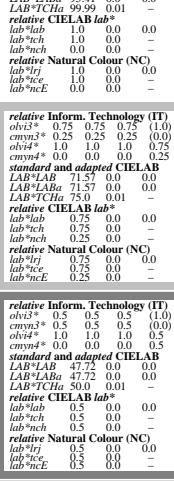


1,00



%Umfang

$u^*_{rel} = 156$



$n^* = 1,0$

$n^* = 0,00$

$n^* = 0,25$

$n^* = 0,50$

$n^* = 0,75$

$n^* = 1,00$

$n^* = 0,75$

$n^* = 0,50$

$n^* = 0,25$

$n^* = 0,00$

relative Buntheit c^*

$n^* = 1,0$

$n^* = 0,00$

$n^* = 0,25$

$n^* = 0,50$

$n^* = 0,75$

$n^* = 1,00$

$n^* = 0,75$

$n^* = 0,50$

$n^* = 0,25$

$n^* = 0,00$

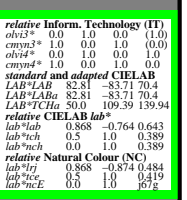
TLS00; adaptierte CIELAB-Daten

	$L^*=L^*_a$	a^*_a	b^*_a	$C^*_{ab,a}$	$h^*_{ab,a}$
O _{Ma}	54.19	79.36	63.0	101.33	38
Y _{Ma}	93.44	-14.18	82.59	83.8	100
L _{Ma}	82.82	-83.73	70.41	109.41	140
C _{Ma}	85.22	-55.9	-15.78	58.1	196
V _{Ma}	25.61	67.05	-108.87	127.87	302
M _{Ma}	58.76	91.18	-53.69	105.82	330
N _{Ma}	0.01	0.0	0.0	0.0	0
W _{Ma}	95.41	0.0	0.0	0.0	0
R _{CIE}	41.88	62.0	31.82	69.69	27
J _{CIE}	81.97	1.81	71.59	71.61	89
G _{CIE}	51.62	-41.11	11.52	42.7	164
B _{CIE}	29.2	-5.27	-49.33	49.62	264

%Regularität

$g^*_{H,rel} = 26$

$g^*_{C,rel} = 45$



$n^* = 0,00$

$n^* = 0,25$

$n^* = 0,50$

$n^* = 0,75$

$n^* = 1,00$

$n^* = 0,25$

$n^* = 0,50$

$n^* = 0,75$

$n^* = 1,00$

$n^* = 0,00$

relative Buntheit c^*

$n^* = 1,0$

$n^* = 0,00$

$n^* = 0,25$

$n^* = 0,50$

$n^* = 0,75$

$n^* = 1,00$

$n^* = 0,25$

$n^* = 0,50$

$n^* = 0,75$

$n^* = 1,00$

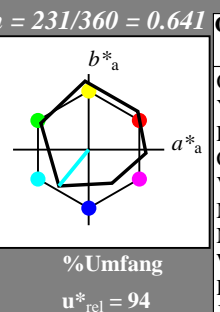
PG400-7, 5 stufige Reihen für konstanten CIELAB Bunnton 151/360 = 0.42 (links)

5 stufige Reihen für konstanten CIELAB Bunnton 140/360 = 0.389 (rechts)

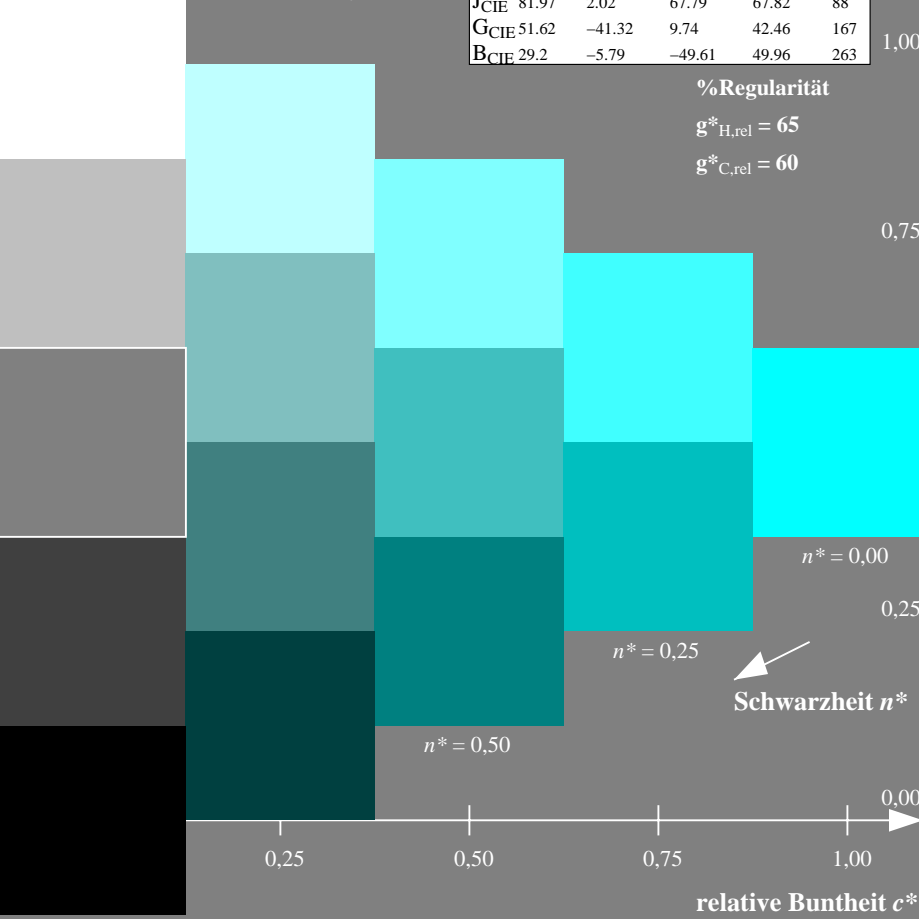
BAM-Prüfvorlage PG40; Farbmétrik-Systeme ORS18 & TLS00 input: $olv^* setrgbcolor$

D50: 5stufige Farbreihen und Koordinatendaten für 10 Bunntöne output: no change compared to input

Eingabe: Farbmétrisches Offset-Reflektiv-System ORS18
für Bunton $h^* = lab^*h = 231/360 = 0.641$
 lab^{*tch} und lab^{*nch}
D50: Bunton C
LCH*Ma: 57 62 231
olv*Ma: 0.0 1.0 1.0
Dreiecks-Helligkeit



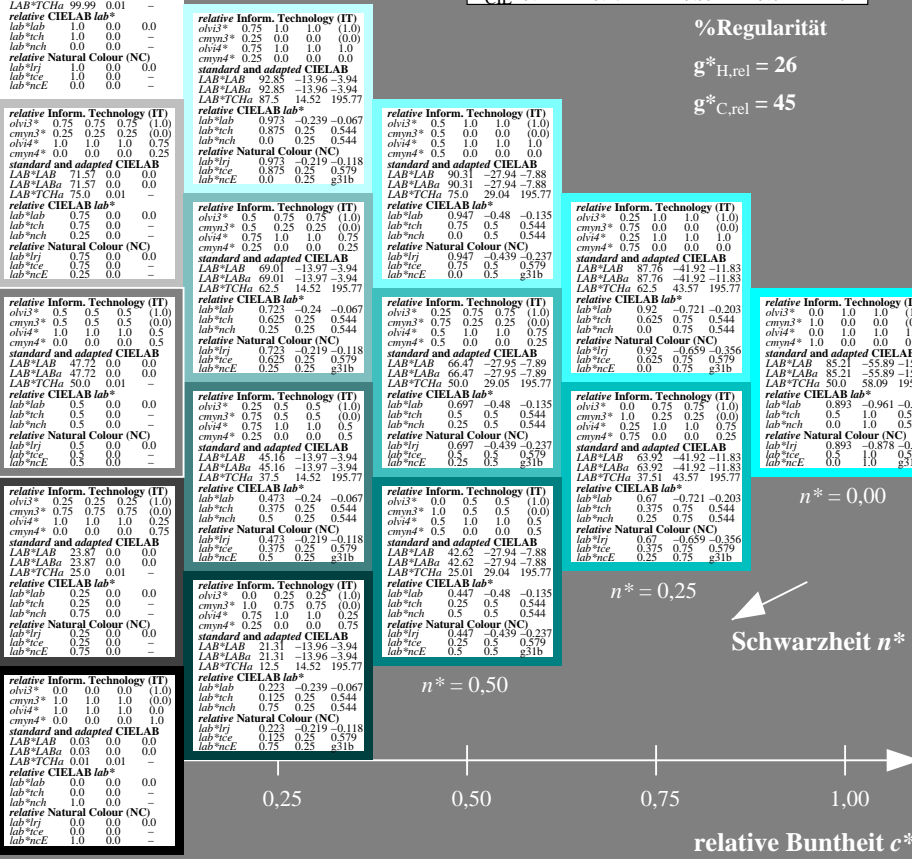
	$L^* = L^*_a$	a^*_a	b^*_a	$C^*_{ab,a}$	$h^*_{ab,a}$
O _{Ma}	47.94	65.05	50.54	82.38	38
Y _{Ma}	91.0	-4.72	90.58	90.7	93
L _{Ma}	50.9	-63.18	34.98	72.22	151
C _{Ma}	56.99	-39.34	-48.1	62.16	231
V _{Ma}	25.72	30.89	-44.4	54.09	305
M _{Ma}	49.99	75.76	-4.64	75.9	356
N _{Ma}	18.09	0.0	0.0	0.0	0
W _{Ma}	95.46	0.0	0.0	0.0	0
R _{CIE}	41.88	61.66	30.69	68.88	26
J _{CIE}	81.97	2.02	67.79	67.82	88
G _{CIE}	51.62	-41.32	9.74	42.46	167
B _{CIE}	29.2	-5.79	-49.61	49.96	263



Ausgabe: Farbmétrisches Fernseh-Licht-System TLS00

für Bunton $h^* = lab^*h = 196/360 = 0.544$
 lab^{*tch} und lab^{*nch}

D50: Bunton C
LCH*Ma: 85 58 196
olv*Ma: 0.0 1.0 1.0
Dreiecks-Helligkeit



%Regularität
 $g^*_{H,rel} = 26$
 $g^*_{C,rel} = 45$

relative Inform. Technology (IT)
 olv^3* 0.5 0.75 0.75 (1.0)
 $cmy3*$ 0.5 0.25 0.25 (0.0)
 olv^4* 1.0 1.0 1.0 (0.0)
 $cmy4*$ 0.0 0.0 0.0
standard and adapted CIELAB
 LAB^*lab 92.83 -13.96 -3.94
 LAB^*Lba 92.85 -13.96 -3.94
 LAB^*TCh 87.94 14.52 195.77

relative Inform. Technology (IT)
 olv^3* 0.75 1.0 1.0 (1.0)
 $cmy3*$ 0.5 1.0 1.0 (0.0)
 olv^4* 1.0 1.0 1.0 (0.0)
 $cmy4*$ 0.0 0.0 0.0
standard and adapted CIELAB
 LAB^*lab 92.83 -13.96 -3.94
 LAB^*Lba 92.85 -13.96 -3.94
 LAB^*TCh 87.94 14.52 195.77

relative Inform. Technology (IT)
 olv^3* 0.5 0.75 0.75 (1.0)
 $cmy3*$ 0.25 0.25 0.25 (0.0)
 olv^4* 1.0 1.0 1.0 (0.0)
 $cmy4*$ 0.0 0.0 0.0
standard and adapted CIELAB
 LAB^*lab 71.57 0.0 0.0
 LAB^*Lba 71.57 0.0 0.0
 LAB^*TCh 75.52 0.0 0.0

relative CIELAB lab*
 lab^{*lab} 0.75 0.0 0.0
 lab^{*tch} 0.75 0.0 0.0
 lab^{*nch} 0.75 0.0 0.0

relative Inform. Technology (IT)
 olv^3* 0.5 0.75 0.75 (1.0)
 $cmy3*$ 0.25 0.25 0.25 (0.0)
 olv^4* 1.0 1.0 1.0 (0.0)
 $cmy4*$ 0.0 0.0 0.0
standard and adapted CIELAB
 LAB^*lab 47.72 0.0 0.0
 LAB^*Lba 47.72 0.0 0.0
 LAB^*TCh 50.0 0.0 0.0

relative CIELAB lab*
 lab^{*lab} 0.75 0.0 0.0
 lab^{*tch} 0.75 0.0 0.0
 lab^{*nch} 0.75 0.0 0.0

relative Inform. Technology (IT)
 olv^3* 0.5 0.75 0.75 (1.0)
 $cmy3*$ 0.25 0.25 0.25 (0.0)
 olv^4* 1.0 1.0 1.0 (0.0)
 $cmy4*$ 0.0 0.0 0.0
standard and adapted CIELAB
 LAB^*lab 66.47 -27.95 -2.59
 LAB^*Lba 66.47 -27.95 -2.59
 LAB^*TCh 59.27 -13.97 -3.94

relative CIELAB lab*
 lab^{*lab} 0.723 -0.24 -0.067
 lab^{*tch} 0.723 -0.24 -0.067
 lab^{*nch} 0.723 -0.24 -0.067

relative Inform. Technology (IT)
 olv^3* 0.5 0.75 0.75 (1.0)
 $cmy3*$ 0.25 0.25 0.25 (0.0)
 olv^4* 1.0 1.0 1.0 (0.0)
 $cmy4*$ 0.0 0.0 0.0
standard and adapted CIELAB
 LAB^*lab 0.73 0.0 0.0
 LAB^*Lba 0.73 0.0 0.0
 LAB^*TCh 0.73 0.0 0.0

relative CIELAB lab*
 lab^{*lab} 0.723 -0.219 -0.118
 lab^{*tch} 0.723 -0.219 -0.118
 lab^{*nch} 0.723 -0.219 -0.118

relative Inform. Technology (IT)
 olv^3* 0.5 0.75 0.75 (1.0)
 $cmy3*$ 0.25 0.25 0.25 (0.0)
 olv^4* 1.0 1.0 1.0 (0.0)
 $cmy4*$ 0.0 0.0 0.0
standard and adapted CIELAB
 LAB^*lab 69.01 -13.97 -3.94
 LAB^*Lba 69.01 -13.97 -3.94
 LAB^*TCh 75.52 14.52 195.77

relative CIELAB lab*
 lab^{*lab} 0.723 -0.24 -0.067
 lab^{*tch} 0.723 -0.24 -0.067
 lab^{*nch} 0.723 -0.24 -0.067

relative Inform. Technology (IT)
 olv^3* 0.5 0.75 0.75 (1.0)
 $cmy3*$ 0.25 0.25 0.25 (0.0)
 olv^4* 1.0 1.0 1.0 (0.0)
 $cmy4*$ 0.0 0.0 0.0
standard and adapted CIELAB
 LAB^*lab 0.73 0.0 0.0
 LAB^*Lba 0.73 0.0 0.0
 LAB^*TCh 0.73 0.0 0.0

relative CIELAB lab*
 lab^{*lab} 0.723 -0.219 -0.118
 lab^{*tch} 0.723 -0.219 -0.118
 lab^{*nch} 0.723 -0.219 -0.118

relative Inform. Technology (IT)
 olv^3* 0.5 0.75 0.75 (1.0)
 $cmy3*$ 0.25 0.25 0.25 (0.0)
 olv^4* 1.0 1.0 1.0 (0.0)
 $cmy4*$ 0.0 0.0 0.0
standard and adapted CIELAB
 LAB^*lab 66.47 -27.95 -2.59
 LAB^*Lba 66.47 -27.95 -2.59
 LAB^*TCh 59.27 -13.97 -3.94

relative CIELAB lab*
 lab^{*lab} 0.723 -0.24 -0.067
 lab^{*tch} 0.723 -0.24 -0.067
 lab^{*nch} 0.723 -0.24 -0.067

relative Inform. Technology (IT)
 olv^3* 0.5 0.75 0.75 (1.0)
 $cmy3*$ 0.25 0.25 0.25 (0.0)
 olv^4* 1.0 1.0 1.0 (0.0)
 $cmy4*$ 0.0 0.0 0.0
standard and adapted CIELAB
 LAB^*lab 45.16 -13.97 -3.94
 LAB^*Lba 45.16 -13.97 -3.94
 LAB^*TCh 37.53 14.52 195.77

relative CIELAB lab*
 lab^{*lab} 0.723 -0.24 -0.067
 lab^{*tch} 0.723 -0.24 -0.067
 lab^{*nch} 0.723 -0.24 -0.067

relative Inform. Technology (IT)
 olv^3* 0.5 0.75 0.75 (1.0)
 $cmy3*$ 0.25 0.25 0.25 (0.0)
 olv^4* 1.0 1.0 1.0 (0.0)
 $cmy4*$ 0.0 0.0 0.0
standard and adapted CIELAB
 LAB^*lab 66.47 -27.95 -2.59
 LAB^*Lba 66.47 -27.95 -2.59
 LAB^*TCh 59.27 -13.97 -3.94

relative CIELAB lab*
 lab^{*lab} 0.723 -0.24 -0.067
 lab^{*tch} 0.723 -0.24 -0.067
 lab^{*nch} 0.723 -0.24 -0.067

relative Inform. Technology (IT)
 olv^3* 0.5 0.75 0.75 (1.0)
 $cmy3*$ 0.25 0.25 0.25 (0.0)
 olv^4* 1.0 1.0 1.0 (0.0)
 $cmy4*$ 0.0 0.0 0.0
standard and adapted CIELAB
 LAB^*lab 45.16 -13.97 -3.94
 LAB^*Lba 45.16 -13.97 -3.94
 LAB^*TCh 37.53 14.52 195.77

relative CIELAB lab*
 lab^{*lab} 0.723 -0.24 -0.067
 lab^{*tch} 0.723 -0.24 -0.067
 lab^{*nch} 0.723 -0.24 -0.067

relative Inform. Technology (IT)
 olv^3* 0.5 0.75 0.75 (1.0)
 $cmy3*$ 0.25 0.25 0.25 (0.0)
 olv^4* 1.0 1.0 1.0 (0.0)
 $cmy4*$ 0.0 0.0 0.0
standard and adapted CIELAB
 LAB^*lab 45.16 -13.97 -3.94
 LAB^*Lba 45.16 -13.97 -3.94
 LAB^*TCh 37.53 14.52 195.77

relative CIELAB lab*
 lab^{*lab} 0.723 -0.24 -0.067
 lab^{*tch} 0.723 -0.24 -0.067
 lab^{*nch} 0.723 -0.24 -0.067

relative Inform. Technology (IT)
 olv^3* 0.5 0.75 0.75 (1.0)
 $cmy3*$ 0.25 0.25 0.25 (0.0)
 olv^4* 1.0 1.0 1.0 (0.0)
 $cmy4*$ 0.0 0.0 0.0
standard and adapted CIELAB
 LAB^*lab 45.16 -13.97 -3.94
 LAB^*Lba 45.16 -13.97 -3.94
 LAB^*TCh 37.53 14.52 195.77

relative CIELAB lab*
 lab^{*lab} 0.723 -0.24 -0.067
 lab^{*tch} 0.723 -0.24 -0.067
 lab^{*nch} 0.723 -0.24 -0.067

relative Inform. Technology (IT)
 olv^3* 0.5 0.75 0.75 (1.0)
 $cmy3*$ 0.25 0.25 0.25 (0.0)
 olv^4* 1.0 1.0 1.0 (0.0)
 $cmy4*$ 0.0 0.0 0.0
standard and adapted CIELAB
 LAB^*lab 45.16 -13.97 -3.94
 LAB^*Lba 45.16 -13.97 -3.94
 LAB^*TCh 37.53 14.52 195.77

relative CIELAB lab*
 lab^{*lab} 0.723 -0.24 -0.067
 lab^{*tch} 0.723 -0.24 -0.067
 lab^{*nch} 0.723 -0.24 -0.067

relative Inform. Technology (IT)
 olv^3* 0.5 0.75 0.75 (1.0)
 $cmy3*$ 0.25 0.25 0.25 (0.0)
 olv^4* 1.0 1.0 1.0 (0.0)
 $cmy4*$ 0.0 0.0 0.0
standard and adapted CIELAB
 LAB^*lab 45.16 -13.97 -3.94
 LAB^*Lba 45.16 -13.97 -3.94
 LAB^*TCh 37.53 14.52 195.77

relative CIELAB lab*
 lab^{*lab} 0.723 -0.24 -0.067
 lab^{*tch} 0.723 -0.24 -0.067
 lab^{*nch} 0.723 -0.24 -0.067

relative Inform. Technology (IT)
 olv^3* 0.5 0.75 0.75 (1.0)
 $cmy3*$ 0.25 0.25 0.25 (0.0)
 olv^4* 1.0 1.0 1.0 (0.0)
 $cmy4*$ 0.0 0.0 0.0
standard and adapted CIELAB
 LAB^*lab 45.16 -13.97 -3.94
 LAB^*Lba 45.16 -13.97 -3.94
 LAB^*TCh 37.53 14.52 195.77

relative CIELAB lab*
 lab^{*lab} 0.723 -0.24 -0.067
 lab^{*tch} 0.723 -0.24 -0.067
 lab^{*nch} 0.723 -0.24 -0.067

PG400-7, 5 stufige Reihen für konstanten CIELAB Bunnton 231/360 = 0.641 (links)
5 stufige Reihen für konstanten CIELAB Bunnton 196/360 = 0.544 (rechts)

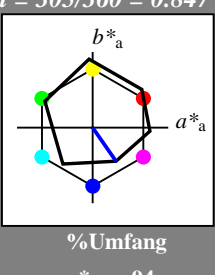
BAM-Prüfvorlage PG40; Farbmétrik-Systeme ORS18 & TLS00 input: `olv* setrgbcolor`
D50: 5stufige Farbreihen und Koordinatendaten für 10 Bunntöne output: no change compared to input



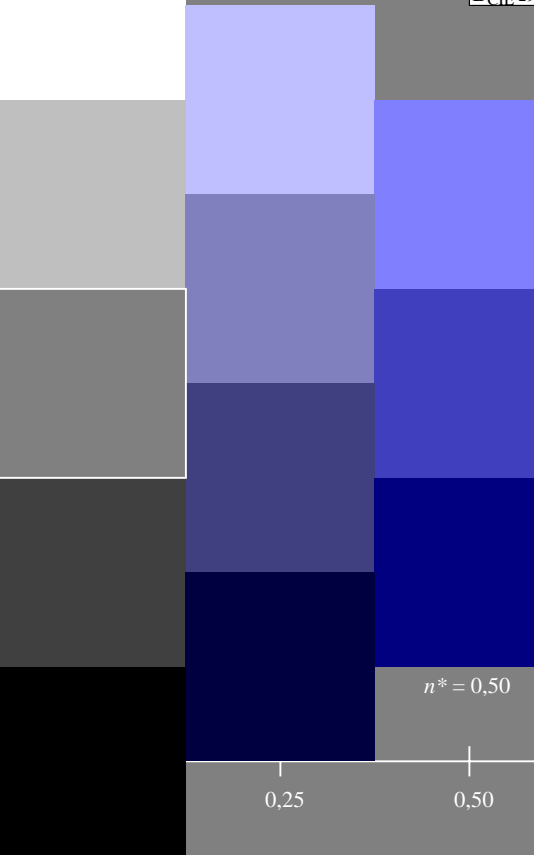
Eingabe: Farbmétrisches Offset-Reflektiv-System ORS18
für Bunton $h^* = lab^*h = 305/360 = 0.847$
 lab^*tch und lab^*nch

D50: Bunton V
LCH*Ma: 26 54 305
olv*Ma: 0.0 0.0 1.0

Dreiecks-Helligkeit



	$L^*=L^*_a$	a^*_a	b^*_a	$C^*_{ab,a}$	$h^*_{ab,a}$
O _{Ma}	47.94	65.05	50.54	82.38	38
Y _{Ma}	91.0	-4.72	90.58	90.7	93
L _{Ma}	50.9	-63.18	34.98	72.22	151
C _{Ma}	56.99	-39.34	-48.1	62.16	231
V _{Ma}	25.72	30.89	-44.4	54.09	305
M _{Ma}	49.99	75.76	-4.64	75.9	356
N _{Ma}	18.09	0.0	0.0	0.0	0
W _{Ma}	95.46	0.0	0.0	0.0	0
R _{CIE}	41.88	61.66	30.69	68.88	26
J _{CIE}	81.97	2.02	67.79	67.82	88
G _{CIE}	51.62	-41.32	9.74	42.46	167
B _{CIE}	29.2	-5.79	-49.61	49.96	263



%Regularität

$g^*_{H,rel} = 65$
 $g^*_{C,rel} = 60$

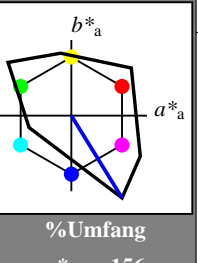
1,00

%Umfang
 $u^*_{rel} = 156$

Ausgabe: Farbmétrisches Fernseh-Licht-System TLS00

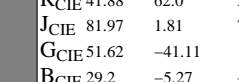
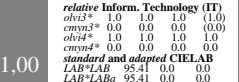
für Bunton $h^* = lab^*h = 302/360 = 0.838$

lab^*tch und lab^*nch



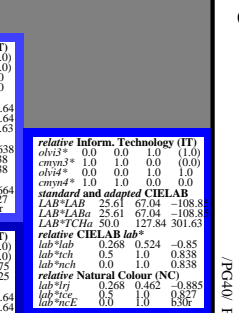
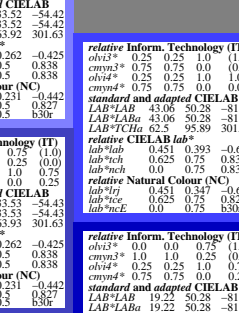
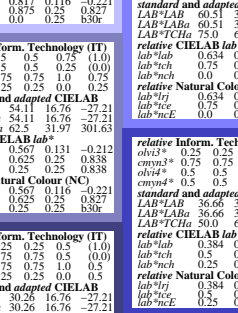
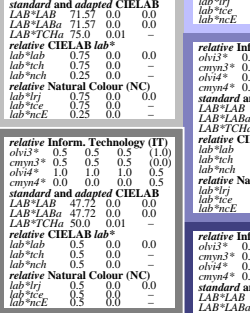
D50: Bunton V
LCH*Ma: 26 128 302
olv*Ma: 0.0 0.0 1.0

Dreiecks-Helligkeit

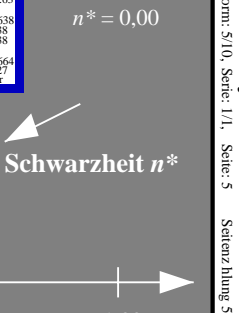
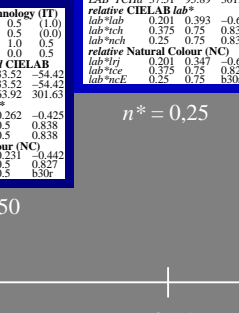
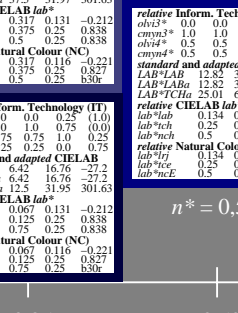
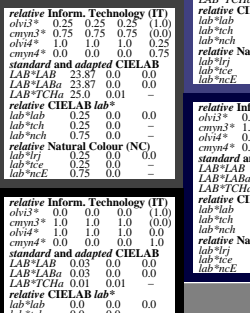


%Regularität

$g^*_{H,rel} = 26$
 $g^*_{C,rel} = 45$



$n^* = 0,00$



$n^* = 0,00$

$n^* = 1,00$

$n^* = 1,00$

5 stufige Reihen für konstanten CIELAB Bunton 302/360 = 0.838 (rechts)

PG400-7, 5 stufige Reihen für konstanten CIELAB Bunton 305/360 = 0.847 (links)

BAM-Prüfvorlage PG40; Farbmétrik-Systeme ORS18 & TLS00 input: $olv^* setrgbcolor$
D50: 5stufige Farbreihen und Koordinatendaten für 10 Bunntöne output: no change compared to input

C

Y

O

L

V

8

-6

V

L

O

C

M

Y

8

o

Y

O

L

V

8

-6

Y

M

C

M

V

8

-6

C

O

Y

M

C

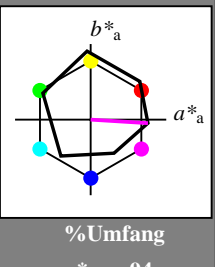
8

-6

Eingabe: Farbmétrisches Offset-Reflektiv-System ORS18

für Bunton $h^* = lab^*h = 356/360 = 0.99$
 lab^*tch und lab^*nch

D50: Bunton M
LCH*Ma: 50 76 356
olv*Ma: 1.0 0.0 1.0
Dreiecks-Helligkeit



1,00
↑
%Umfang

ORS18; adaptierte CIELAB-Daten

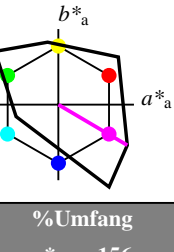
	$L^*=L^*_a$	a^*_a	b^*_a	$C^*_{ab,a}$	$h^*_{ab,a}$
O _{Ma}	47.94	65.05	50.54	82.38	38
Y _{Ma}	91.0	-4.72	90.58	90.7	93
L _{Ma}	50.9	-63.18	34.98	72.22	151
C _{Ma}	56.99	-39.34	-48.1	62.16	231
V _{Ma}	25.72	30.89	-44.4	54.09	305
M _{Ma}	49.99	75.76	-4.64	75.9	356
N _{Ma}	18.09	0.0	0.0	0.0	0
W _{Ma}	95.46	0.0	0.0	0.0	0
R _{CIE}	41.88	61.66	30.69	68.88	26
J _{CIE}	81.97	2.02	67.79	67.82	88
G _{CIE}	51.62	-41.32	9.74	42.46	167
B _{CIE}	29.2	-5.79	-49.61	49.96	263

Siehe ähnliche Dateien: <http://www.ps.bam.de/PG40/>
Technische Information: <http://www.ps.bam.de> Version 2.1, io=1, 1

Ausgabe: Farbmétrisches Fernseh-Licht-System TLS00

für Bunton $h^* = lab^*h = 330/360 = 0.915$
 lab^*tch und lab^*nch

D50: Bunton M
LCH*Ma: 59 106 330
olv*Ma: 1.0 0.0 1.0
Dreiecks-Helligkeit



1,00
↑
%Umfang

	$L^*=L^*_a$	a^*_a	b^*_a	$C^*_{ab,a}$	$h^*_{ab,a}$
O _{Ma}	54.19	79.36	63.0	101.33	38
Y _{Ma}	93.44	-14.18	82.59	83.8	100
L _{Ma}	82.82	-83.73	70.41	109.41	140
C _{Ma}	85.22	-55.9	-15.78	58.1	196
V _{Ma}	25.61	67.05	-108.87	127.87	302
M _{Ma}	58.76	91.18	-53.69	105.82	330
N _{Ma}	0.01	0.0	0.0	0.0	0
W _{Ma}	95.41	0.0	0.0	0.0	0
R _{CIE}	41.88	62.0	31.82	69.69	27
J _{CIE}	81.97	1.81	71.59	71.61	89
G _{CIE}	51.62	-41.11	11.52	42.7	164
B _{CIE}	29.2	-5.27	-49.33	49.62	264

	$L^*=L^*_a$	a^*_a	b^*_a	$C^*_{ab,a}$	$h^*_{ab,a}$
O _{Ma}	0.08	0.75	0.0	(1,0)	
Y _{Ma}	0.08	0.75	0.0	(0,0)	
L _{Ma}	0.08	0.75	0.0	0.0	
C _{Ma}	0.08	0.75	0.0	0.0	
V _{Ma}	0.08	0.75	0.0	0.0	
M _{Ma}	0.08	0.75	0.0	0.0	
N _{Ma}	0.08	0.75	0.0	0.0	
W _{Ma}	0.08	0.75	0.0	0.0	
R _{CIE}	0.08	0.75	0.0	0.0	
J _{CIE}	0.08	0.75	0.0	0.0	
G _{CIE}	0.08	0.75	0.0	0.0	
B _{CIE}	0.08	0.75	0.0	0.0	

	$L^*=L^*_a$	a^*_a	b^*_a	$C^*_{ab,a}$	$h^*_{ab,a}$
O _{Ma}	0.08	0.75	0.0	(1,0)	
Y _{Ma}	0.08	0.75	0.0	(0,0)	
L _{Ma}	0.08	0.75	0.0	0.0	
C _{Ma}	0.08	0.75	0.0	0.0	
V _{Ma}	0.08	0.75	0.0	0.0	
M _{Ma}	0.08	0.75	0.0	0.0	
N _{Ma}	0.08	0.75	0.0	0.0	
W _{Ma}	0.08	0.75	0.0	0.0	
R _{CIE}	0.08	0.75	0.0	0.0	
J _{CIE}	0.08	0.75	0.0	0.0	
G _{CIE}	0.08	0.75	0.0	0.0	
B _{CIE}	0.08	0.75	0.0	0.0	

PG400-7, 5stufige Reihen für konstanten CIELAB Bunnton 356/360 = 0.99 (links)

5 stufige Reihen für konstanten CIELAB Bunnton 330/360 = 0.915 (rechts)

BAM-Prüfvorlage PG40; Farbmétrik-Systeme ORS18 & TLS00 input: olv* setrgbcolor
D50: 5stufige Farbreihen und Koordinatendaten für 10 Bunntöne output: no change compared to input

BAM-Registrierung: 20060101-PG40/10S/S40G06NP.PS./PDF BAM-Material: Code=rha4ta
Anwendung für Beurteilung und Messung von Drucker- oder Monitorsystemen

/PG40 Form: 7/1, Serie: 1/1, Seite: 7

Seitenzählnung 7

Siehe ähnliche Dateien: <http://www.ps.bam.de/PG40/>
Technische Information: <http://www.ps.bam.de> Version 2.1, io=1, 1

Eingabe: Farbmétrisches Offset-Reflektiv-System ORS18

für Bunton $h^* = lab^*h = 26/360 = 0.074$

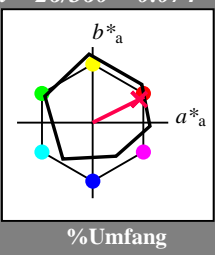
lab^*tch und lab^*nch

D50: Bunton R

LCH*Ma: 49 76 26

olv*Ma: 1.0 0.0 0.3

Dreiecks-Helligkeit



ORS18; adaptierte CIELAB-Daten

	$L^*=L^*_a$	a^*_a	b^*_a	$C^*_{ab,a}$	$h^*_{ab,a}$
O _{Ma}	47.94	65.05	50.54	82.38	38
Y _{Ma}	91.0	-4.72	90.58	90.7	93
L _{Ma}	50.9	-63.18	34.98	72.22	151
C _{Ma}	56.99	-39.34	-48.1	62.16	231
V _{Ma}	25.72	30.89	-44.4	54.09	305
M _{Ma}	49.99	75.76	-4.64	75.9	356
N _{Ma}	18.09	0.0	0.0	0.0	0
W _{Ma}	95.46	0.0	0.0	0.0	0
R _{CIE}	41.88	61.66	30.69	68.88	26
J _{CIE}	81.97	2.02	67.79	67.82	88
G _{CIE}	51.62	-41.32	9.74	42.46	167
B _{CIE}	29.2	-5.79	-49.61	49.96	263

1,00



%Umfang

$u^*_{rel} = 94$

1,00



%Regularität

$g^*_{H,rel} = 65$

$g^*_{C,rel} = 60$

0,75



$n^* = 0,00$



$n^* = 0,25$

$n^* = 0,50$

$n^* = 0,75$

$n^* = 1,00$

relative Buntheit c^*

$n^* = 1,0$

Ausgabe: Farbmétrisches Fernseh-Licht-System TLS00

für Bunton $h^* = lab^*h = 27/360 = 0.075$

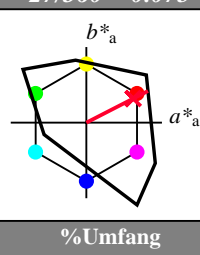
lab^*tch und lab^*nch

D50: Bunton R

LCH*Ma: 55 92 27

olv*Ma: 1.0 0.0 0.18

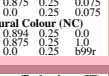
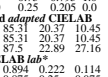
Dreiecks-Helligkeit



1,00



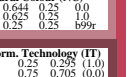
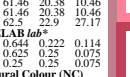
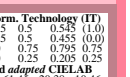
1,00



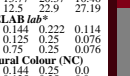
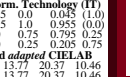
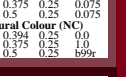
%Umfang

$u^*_{rel} = 156$

0,75



$n^* = 0,00$



$n^* = 0,25$

$n^* = 0,50$

$n^* = 0,75$

$n^* = 1,0$

relative Buntheit c^*

$n^* = 1,0$

TLS00; adaptierte CIELAB-Daten

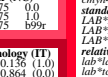
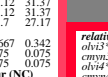
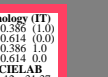
	$L^*=L^*_a$	a^*_a	b^*_a	$C^*_{ab,a}$	$h^*_{ab,a}$
O _{Ma}	54.19	79.36	63.0	101.33	38
Y _{Ma}	93.44	-14.18	82.59	83.8	100
L _{Ma}	82.82	-83.73	70.41	109.41	140
C _{Ma}	85.22	-55.9	-15.78	58.1	196
V _{Ma}	25.61	67.05	-108.87	127.87	302
M _{Ma}	58.76	91.18	-53.69	105.82	330
N _{Ma}	0.01	0.0	0.0	0.0	0
W _{Ma}	95.41	0.0	0.0	0.0	0
R _{CIE}	41.88	62.0	31.82	69.69	27
J _{CIE}	81.97	1.81	71.59	71.61	89
G _{CIE}	51.62	-41.11	11.52	42.7	164
B _{CIE}	29.2	-5.27	-49.33	49.62	264

%Regularität

$g^*_{H,rel} = 26$

$g^*_{C,rel} = 45$

0,75



$n^* = 0,00$



$n^* = 0,25$

$n^* = 0,50$

$n^* = 0,75$

$n^* = 1,0$

relative Buntheit c^*

$n^* = 1,0$

	$L^*=L^*_a$	a^*_a	b^*_a	$C^*_{ab,a}$	$h^*_{ab,a}$
O _{Ma}	75.21	40.74	20.91	27.17	21
Y _{Ma}	75.21	21.41	11.32	31.37	10
L _{Ma}	65.11	41.27	61.12	31.38	10
C _{Ma}	65.11	41.27	59.00	27.17	10
V _{Ma}	55.02	81.49	41.83	31.36	10
M _{Ma}	55.02	81.49	41.83	31.36	10
N _{Ma}	0.0	0.0	0.0	0.0	0
W _{Ma}	55.02	81.49	41.83	31.36	10
R _{CIE}	37.51	68.7	27.18	27.17	10
J _{CIE}	37.51	68.7	27.18	27.17	10
G _{CIE}	37.51	68.7	27.18	27.17	10
B _{CIE}	37.51	68.7	27.18	27.17	10

$n^* = 0,00$



$n^* = 0,25$

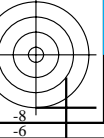
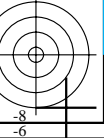
$n^* = 0,50$

$n^* = 0,75$

$n^* = 1,0$

relative Buntheit c^*

$n^* = 1,0$



Eingabe: Farbmétrisches Offset-Reflektiv-System ORS18
für Bunton $h^* = lab^*h = 88/360 = 0.245$

lab^*tch und lab^*nch

D50: Bunton J

LCH*Ma: 86 86 88

olv*Ma: 1.0 0.9 0.0

Dreiecks-Helligkeit

%Umfang

$u^*_{rel} = 94$

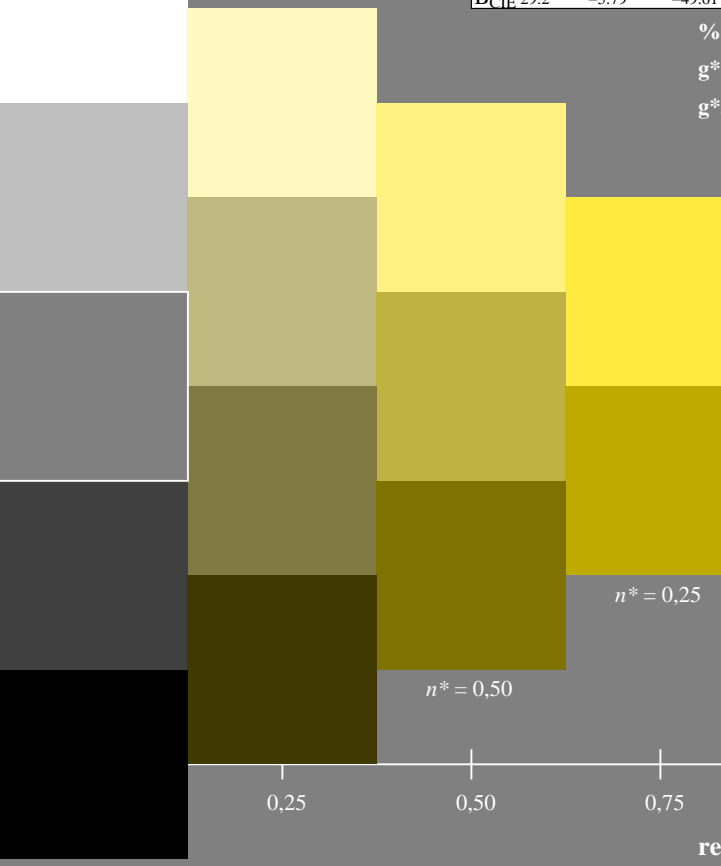
ORS18; adaptierte CIELAB-Daten

	$L^*=L^*_a$	a^*_a	b^*_a	$C^*_{ab,a}$	$h^*_{ab,a}$
O _{Ma}	47.94	65.05	50.54	82.38	38
Y _{Ma}	91.0	-4.72	90.58	90.7	93
L _{Ma}	50.9	-63.18	34.98	72.22	151
C _{Ma}	56.99	-39.34	-48.1	62.16	231
V _{Ma}	25.72	30.89	-44.4	54.09	305
M _{Ma}	49.99	75.76	-4.64	75.9	356
N _{Ma}	18.09	0.0	0.0	0.0	0
W _{Ma}	95.46	0.0	0.0	0.0	0
R _{CIE}	41.88	61.66	30.69	68.88	26
J _{CIE}	81.97	2.02	67.79	67.82	88
G _{CIE}	51.62	-41.32	9.74	42.46	167
B _{CIE}	29.2	-5.79	-49.61	49.96	263

%Regularität

$g^*_{H,rel} = 65$

$g^*_{C,rel} = 60$



$n^* = 1,0$

PG400-7, 5stufige Reihen für konstanten CIELAB Bunnton 88/360 = 0.245 (links)

BAM-Prüfvorlage PG40; Farbmétrik-Systeme ORS18 & TLS00 input: olv* setrgbcolor

D50: 5stufige Farbreihen und Koordinatendaten für 10 Bunntöne output: no change compared to input

Ausgabe: Farbmétrisches Fernseh-Licht-System TLS00

für Bunton $h^* = lab^*h = 89/360 = 0.246$

lab^*tch und lab^*nch

D50: Bunton J

LCH*Ma: 87 79 89

olv*Ma: 1.0 0.83 0.0

Dreiecks-Helligkeit

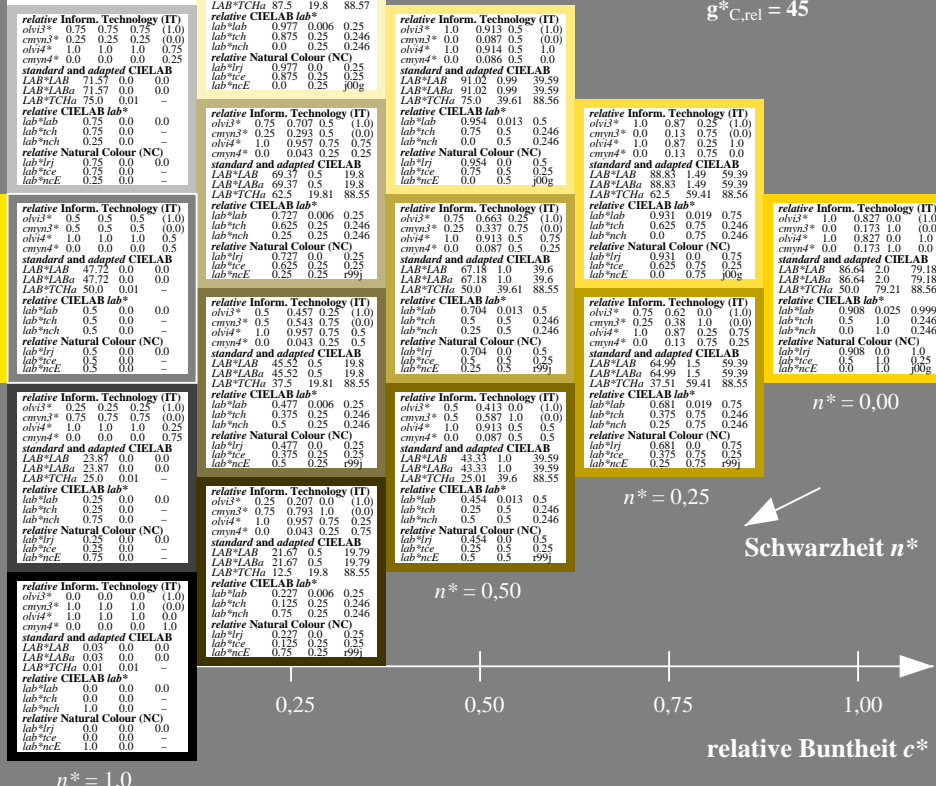
%Umfang

$u^*_{rel} = 156$

%Regularität

$g^*_{H,rel} = 26$

$g^*_{C,rel} = 45$



$n^* = 0,00$

Schwarzeit n^*

$n^* = 1,0$

5 stufige Reihen für konstanten CIELAB Bunnton 89/360 = 0.246 (rechts)

BAM-Prüfvorlage PG40; Farbmétrik-Systeme ORS18 & TLS00 input: olv* setrgbcolor

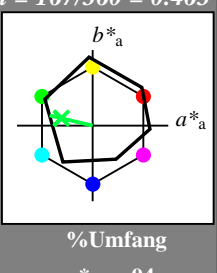
D50: 5stufige Farbreihen und Koordinatendaten für 10 Bunntöne output: no change compared to input



Eingabe: Farbmétrisches Offset-Reflektiv-System ORS18
 für Bunnton $h^* = lab^*h = 167/360 = 0.463$
 lab^*tch und lab^*nch

D50: Bunnton G
 LCH*Ma: 52 59 167
 olv*Ma: 0.0 1.0 0.26

Dreiecks-Helligkeit



%Umfang
 $u^*_{rel} = 94$

ORS18; adaptierte CIELAB-Daten

	$L^*=L^*_a$	a^*_a	b^*_a	$C^*_{ab,a}$	$h^*_{ab,a}$
O _{Ma}	47.94	65.05	50.54	82.38	38
Y _{Ma}	91.0	-4.72	90.58	90.7	93
L _{Ma}	50.9	-63.18	34.98	72.22	151
C _{Ma}	56.99	-39.34	-48.1	62.16	231
V _{Ma}	25.72	30.89	-44.4	54.09	305
M _{Ma}	49.99	75.76	-4.64	75.9	356
N _{Ma}	18.09	0.0	0.0	0.0	0
W _{Ma}	95.46	0.0	0.0	0.0	0
R _{CIE}	41.88	61.66	30.69	68.88	26
J _{CIE}	81.97	2.02	67.79	67.82	88
G _{CIE}	51.62	-41.32	9.74	42.46	167
B _{CIE}	29.2	-5.79	-49.61	49.96	263

Siehe ähnliche Dateien: <http://www.ps.bam.de/PG40/>
 Technische Information: <http://www.ps.bam.de> Version 2.1, io=1, 1

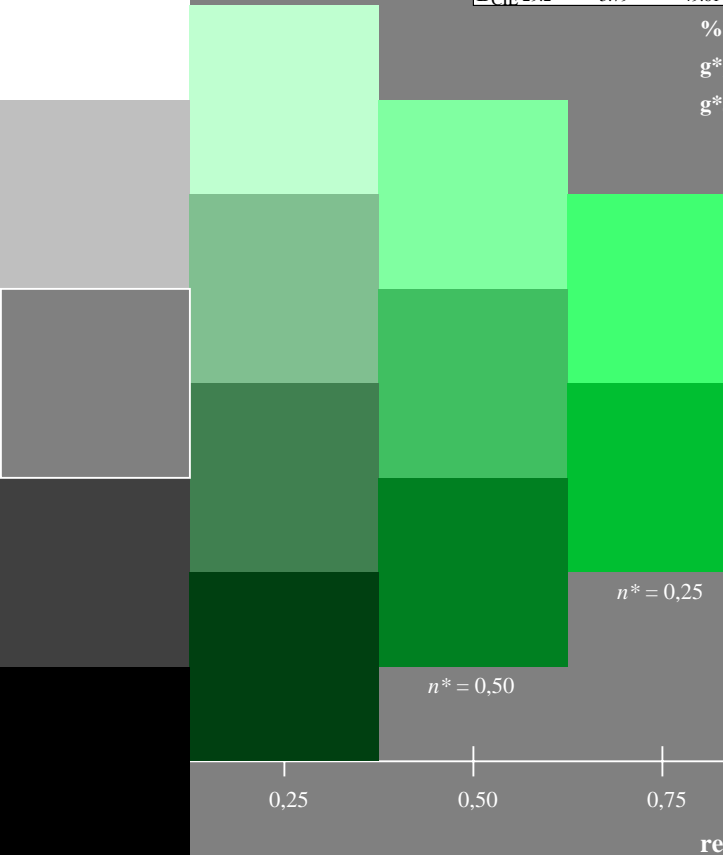
1,00

%Umfang

$u^*_{rel} = 94$

%Regularität

$g^*_{H,rel} = 65$
 $g^*_{C,rel} = 60$



$n^* = 1,0$

Ausgabe: Farbmétrisches Fernseh-Licht-System TLS00

für Bunnton $h^* = lab^*h = 164/360 = 0.457$

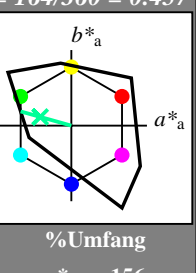
lab^*tch und lab^*nch

D50: Bunnton G

LCH*Ma: 84 70 164

olv*Ma: 0.0 1.0 0.6

Dreiecks-Helligkeit



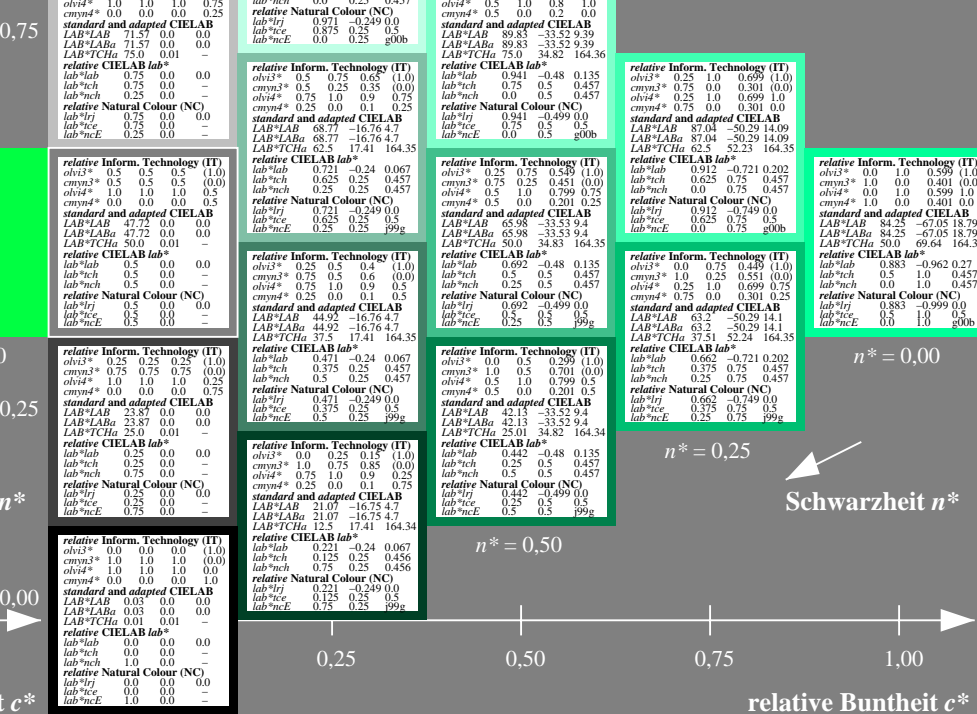
%Umfang
 $u^*_{rel} = 156$

TLS00; adaptierte CIELAB-Daten

	$L^*=L^*_a$	a^*_a	b^*_a	$C^*_{ab,a}$	$h^*_{ab,a}$
O _{Ma}	54.19	79.36	63.0	101.33	38
Y _{Ma}	93.44	-14.18	82.59	83.8	100
L _{Ma}	82.82	-83.73	70.41	109.41	140
C _{Ma}	85.22	-55.9	-15.78	58.1	196
V _{Ma}	25.61	67.05	-108.87	127.87	302
M _{Ma}	58.76	91.18	-53.69	105.82	330
N _{Ma}	0.01	0.0	0.0	0.0	0
W _{Ma}	95.41	0.0	0.0	0.0	0
R _{CIE}	41.88	62.0	31.82	69.69	27
J _{CIE}	81.97	1.81	71.59	71.61	89
G _{CIE}	51.62	-41.11	11.52	42.7	164
B _{CIE}	29.2	-5.27	-49.33	49.62	264

%Regularität

$g^*_{H,rel} = 26$
 $g^*_{C,rel} = 45$



$n^* = 0,25$

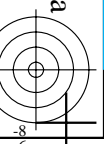
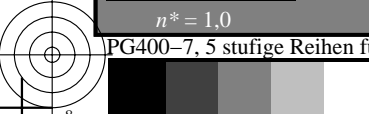
$n^* = 0,50$

PG400-7, 5 stufige Reihen für konstanten CIELAB Bunnton 167/360 = 0.463 (links)

5 stufige Reihen für konstanten CIELAB Bunnton 164/360 = 0.457 (rechts)

BAM-Prüfvorlage PG40; Farbmétrik-Systeme ORS18 & TLS00 input: olv* setrgbcolor

D50: 5stufige Farbreihen und Koordinatendaten für 10 Bunntöne output: no change compared to input



Siehe ähnliche Dateien: <http://www.ps.bam.de/PG40/>
Technische Information: <http://www.ps.bam.de> Version 2.1, io=1, 1

Eingabe: Farbmétrisches Offset-Reflektiv-System ORS18

für Bunton $h^* = lab^*h = 263/360 = 0.731$

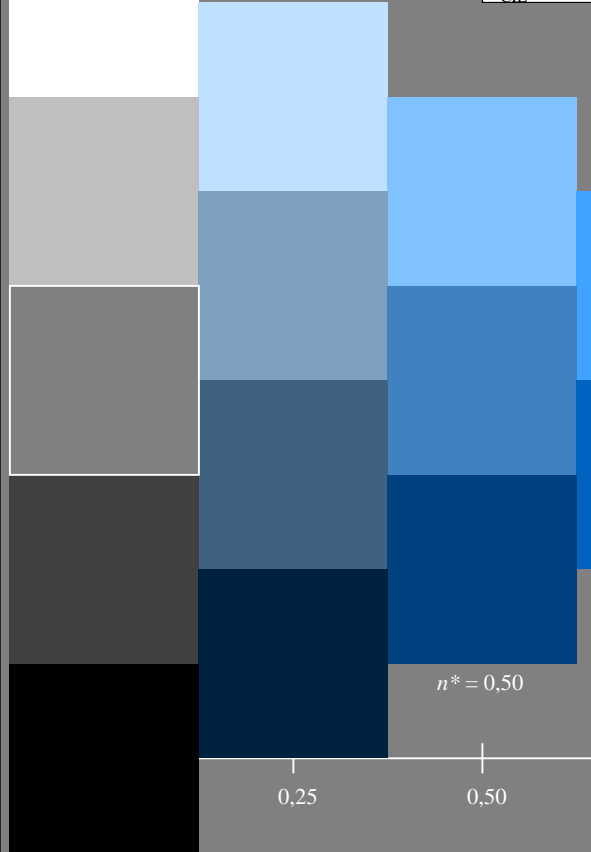
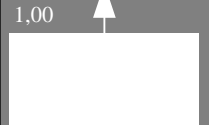
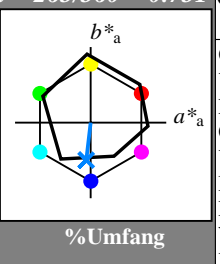
lab^*tch und lab^*nch

D50: Bunton B

LCH*Ma: 42 47 263

olv*Ma: 0.0 0.52 1.0

Dreiecks-Helligkeit



ORS18; adaptierte CIELAB-Daten

	$L^*=L^*_a$	a^*_a	b^*_a	$C^*_{ab,a}$	$h^*_{ab,a}$
O _{Ma}	47.94	65.05	50.54	82.38	38
Y _{Ma}	91.0	-4.72	90.58	90.7	93
L _{Ma}	50.9	-63.18	34.98	72.22	151
C _{Ma}	56.99	-39.34	-48.1	62.16	231
V _{Ma}	25.72	30.89	-44.4	54.09	305
M _{Ma}	49.99	75.76	-4.64	75.9	356
N _{Ma}	18.09	0.0	0.0	0.0	0
W _{Ma}	95.46	0.0	0.0	0.0	0
R _{CIE}	41.88	61.66	30.69	68.88	26
J _{CIE}	81.97	2.02	67.79	67.82	88
G _{CIE}	51.62	-41.32	9.74	42.46	167
B _{CIE}	29.2	-5.79	-49.61	49.96	263

Ausgabe: Farbmétrisches Fernseh-Licht-System TLS00

für Bunton $h^* = lab^*h = 264/360 = 0.733$

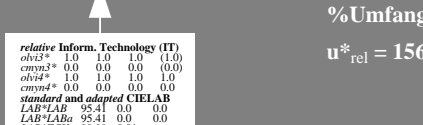
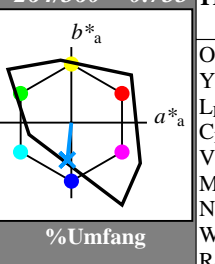
lab^*tch und lab^*nch

D50: Bunton B

LCH*Ma: 61 54 264

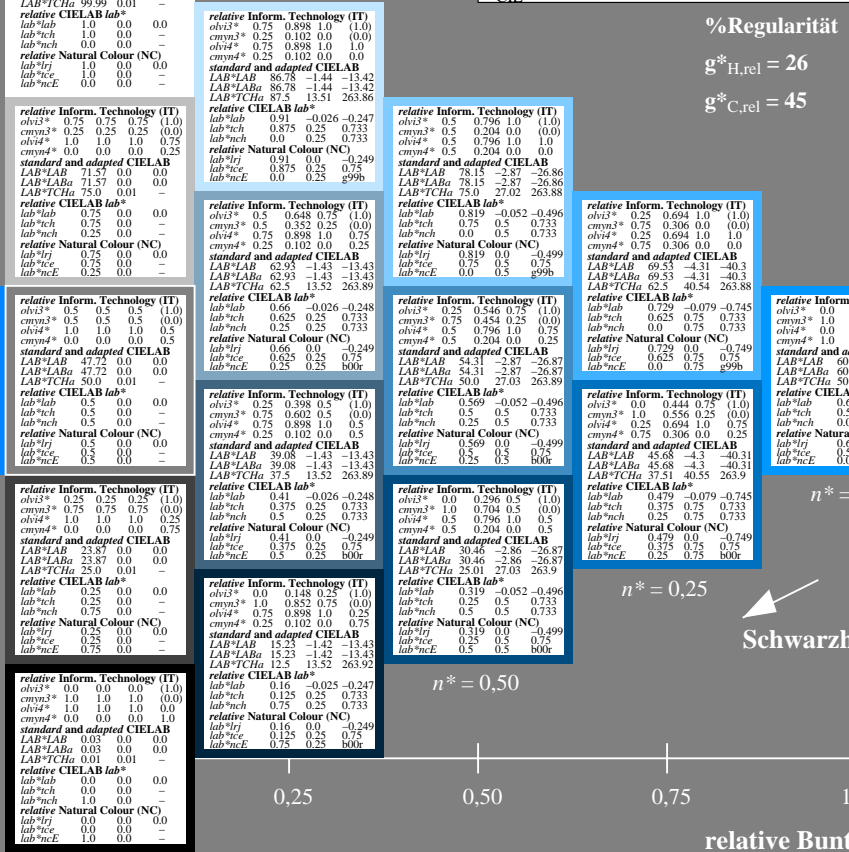
olv*Ma: 0.0 0.59 1.0

Dreiecks-Helligkeit



TLS00; adaptierte CIELAB-Daten

	$L^*=L^*_a$	a^*_a	b^*_a	$C^*_{ab,a}$	$h^*_{ab,a}$
O _{Ma}	54.19	79.36	63.0	101.33	38
Y _{Ma}	93.44	-14.18	82.59	83.8	100
L _{Ma}	82.82	-83.73	70.41	109.41	140
C _{Ma}	85.22	-55.9	-15.78	58.1	196
V _{Ma}	25.61	67.05	-108.87	127.87	302
M _{Ma}	58.76	91.18	-53.69	105.82	330
N _{Ma}	0.01	0.0	0.0	0.0	0
W _{Ma}	95.41	0.0	0.0	0.0	0
R _{CIE}	41.88	62.0	31.82	69.69	27
J _{CIE}	81.97	1.81	71.59	71.61	89
G _{CIE}	51.62	-41.11	11.52	42.7	164
B _{CIE}	29.2	-5.27	-49.33	49.62	264



5stufige Reihen für konstanten CIELAB Bunnton 264/360 = 0.733 (rechts)

PG400-7, 5 stufige Reihen für konstanten CIELAB Bunnton 263/360 = 0.731 (links)

BAM-Prüfvorlage PG40; Farbmétrik-Systeme ORS18 & TLS00 input: olv* setrgbcolor

D50: 5stufige Farbreihen und Koordinatendaten für 10 Bunntöne output: no change compared to input